

Appendix 3.2.1(3) 森林内における放射性セシウムの移行状況調査、森林からの放射性セシウムの移行状況調査

表1 林内雨に含まれるセシウム 137 濃度の時系列変化

観測期間	スギ壮齢林			スギ若齢林			広葉樹混合林		
	林内雨量 (mm)	セシウム 137濃度 (Bq/kg)	測定誤差	林内雨量 (mm)	セシウム 137濃度 (Bq/kg)	測定誤差	林内雨量 (mm)	セシウム 137濃度 (Bq/kg)	測定誤差
	H23.06.30~07.10	40	48	9.0	48	17	7.4	10	49
H23.07.10~07.23	4.3	330	48	9.3	180	19	19	29	9.3
H23.07.23~08.01	33	83	20	45	73	17	42	14	9.7
H23.08.01~08.06	25	88	16	24	98	18	19	39	9.7
H23.08.06~08.12	10	180	23	12	110	18	15	86	13
H23.08.12~08.19	27	470	35	31	89	15	30	40	9.5
H23.08.19~08.23	34	170	18	38	67	11	35	12	6.2
H23.08.23~08.29	0.43	450	10	-	-	-	3.7	120	11
H23.08.29~09.07	24	450	27	26	130	15	29	42	8.2
H23.09.07~09.23	110	89	12	110	31	8.6	120	6.1	5.2
H23.09.23~10.08	48	31	8.3	56	29	7.6	42	4.8	5.0
H23.10.08~10.22	25	110	12	30	54	9.3	26	26	6.8
H23.10.22~11.05	2.0	60	11	2.5	64	12	4.9	14	5.1
H23.11.05~11.12	12	47	8.7	16	31	7.7	16	9.5	4.8
H23.11.12~11.21	15	43	9.0	15	24	7.7	13	15	5.6
H23.11.21~12.05	20	48	8.2	22	32	7.3	15	8.6	4.6
H23.12.05~H24.01.12	7.2	48	11	4.5	210	5.2	15	79	5.5
H24.01.12~01.24	15	21	6.8	14	38	3.1	29	0.4	1.6
H24.01.24~02.07	8.2	180	24	7.4	220	16	8.6	24	5.6
H24.02.07~02.28	21	110	12	24	89	11	26	4.6	3.9
H24.02.28~03.09	60	72	9.6	71	240	16	47	4.0	4.3
H24.03.09~03.23	17	80	11	17	96	12	21	13	4.6
H24.03.23~04.13	27	41	9.0	31	33	7.9	24	11	4.2
H24.04.13~04.27	5.7	19	8.9	6.4	22	6.1	6.5	6.7	3.9
H24.04.27~05.10	30	13	2.9	37	8.7	2.3	21	5.7	2.6
H24.05.10~05.25	23	25	3.1	27	12	2.5	21	5.7	2.0
H24.05.25~06.08	13	17	1.9	14	18	2.1	17	5.0	1.6
H24.06.08~06.22	43	11	2.5	51	14	1.9	44	6.5	1.2
H24.06.22~07.10	36	12	1.9	39	13	1.8	35	2.8	1.0
H24.07.10~08.07	32	15	1.9	36	16	2.2	-	-	-
H24.08.07~09.11	50	18	2.8	53	14	2.2	36	6.7	0.9
H24.09.11~10.09	31	13	1.8	36	7.5	1.4	29	2.6	0.9
H24.10.09~10.22	13	11	1.7	15	7.6	1.3	11	1.5	0.7
H24.10.22~11.13	4.9	11	0.91	5.6	24	0.8	15	3.3	0.9
H24.11.13~12.04	3.2	16	1.1	3.8	24	1.3	7.1	2.2	0.5
H24.12.04~H25.01.17	8.8	11	1.0	10	3.5	0.6	10	0.9	0.4

表2 樹幹流に含まれるセシウム137濃度の時系列変化

観測期間	スギ壮齢林			スギ若齢林			広葉樹混合林		
	樹幹 流量 (mm)	セシウム 137濃度 (Bq/kg)	測定誤差	樹幹 流量 (mm)	セシウム 137濃度 (Bq/kg)	測定誤差	樹幹 流量 (mm)	セシウム 137濃度 (Bq/kg)	測定誤差
	H23.07.10-07.23	1.1	33	4.6	2.8	29	4.4	5.6	22
H23.08.12-08.19	0.13	85	11	1.2	46	7.0	3.2	44	7.0
H23.08.19-08.23	0.7	34	5.6	2.6	17	4.4	6.1	9.1	3.5
H23.08.29-09.07	0.14	85	8.9	2.3	56	6.7	5.1	7.2	2.0
H23.09.07-09.23	6.4	12	3.9	20	12	4.0	6.4	10	3.4
H23.09.23-10.08	2.4	13	4.2	4.8	21	3.8	6.4	11	2.3
H23.10.08-10.21	0.33	46	6.5	1.9	41	7.0	4.9	26	3.9
H23.10.22-11.05	0.046	68	8.9	0.74	48	5.7	0.14	64	5.0
H23.11.05-11.12	0.023	98	7.7	0.85	72	6.4	2.4	33	4.7
H23.11.12-11.21	0.30	63	6.1	1.1	44	5.2	4.0	26	4.5
H23.11.21-12.05	1.3	32	5.1	2.4	32	5.0	5.5	15	4.0
H24.03.23-04.13	2.0	31	4.4	3.5	43	4.9	6.3	23	3.4
H24.04.13-04.27	-	-	-	-	-	-	-	-	-
H24.04.27-05.10	6.9	38	3.4	9.1	35	3.3	5.9	16	2.3
H24.05.10-05.25	2.3	24	3.4	2.4	57	4.2	6.1	18	3.1
H24.05.25-06.08	0.54	43	5.3	0.64	49	4.0	4.7	21	2.8
H24.06.08-06.22	8.1	14	2.7	14	22	3.1	5.4	32	3.0
H24.06.22-07.10	2.7	26	2.7	4.3	32	3.1	5.9	15	2.5
H24.07.10-08.07	2.1	20	1.6	2.7	36	1.7	4.6	32	1.6
H24.08.07-09.11	5.1	6.6	1.2	11	7.4	1.0	6.1	4.5	0.78
H24.09.11-10.09	4.6	4.2	1.0	8.1	4.1	0.7	5.8	9.9	1.1
H24.10.09-10.22	-	-	-	-	-	-	-	-	-
H24.10.22-11.13	0.54	18	1.6	2.4	11	1.2	5.0	6.1	1.0
H24.11.13-12.04	0.62	11	1.2	2.0	6.7	1.0	4.2	5.8	1.0

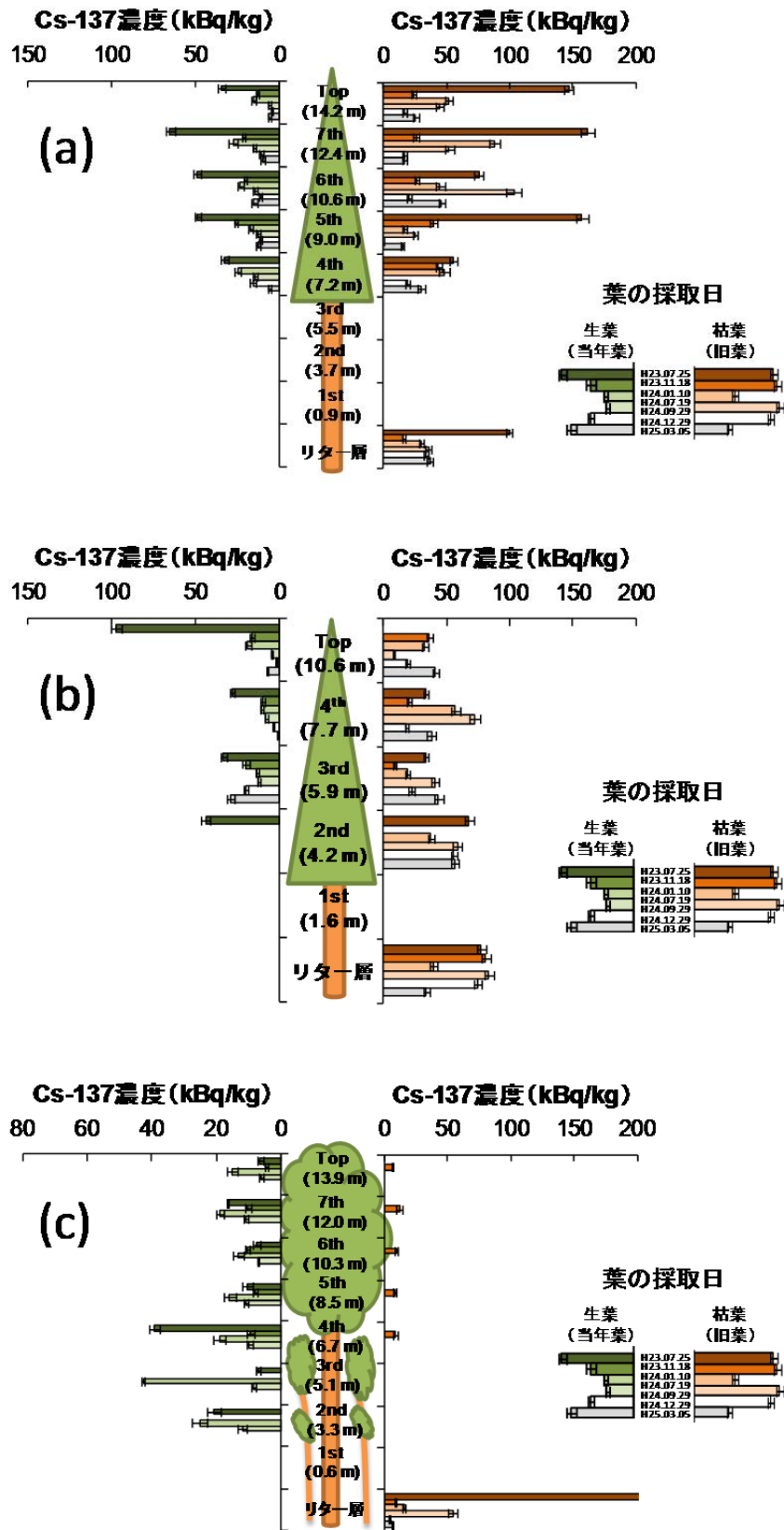


図1 高さ別の葉（生葉及び枯葉）のセシウム137濃度  
 (a)スギ壮齢林、(b)スギ若齢林、(c)広葉樹混合林

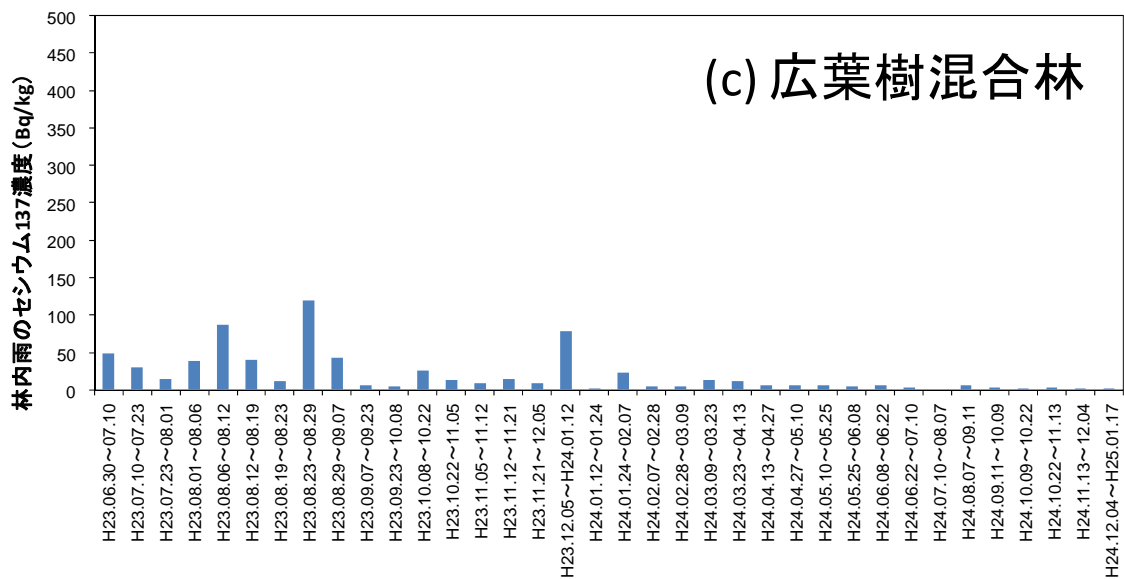
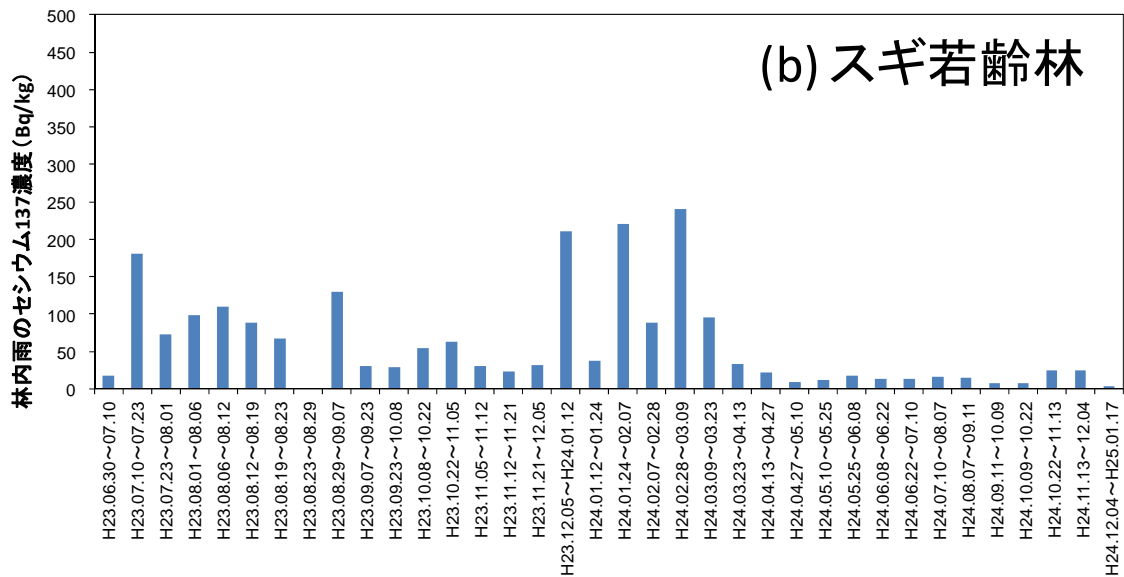
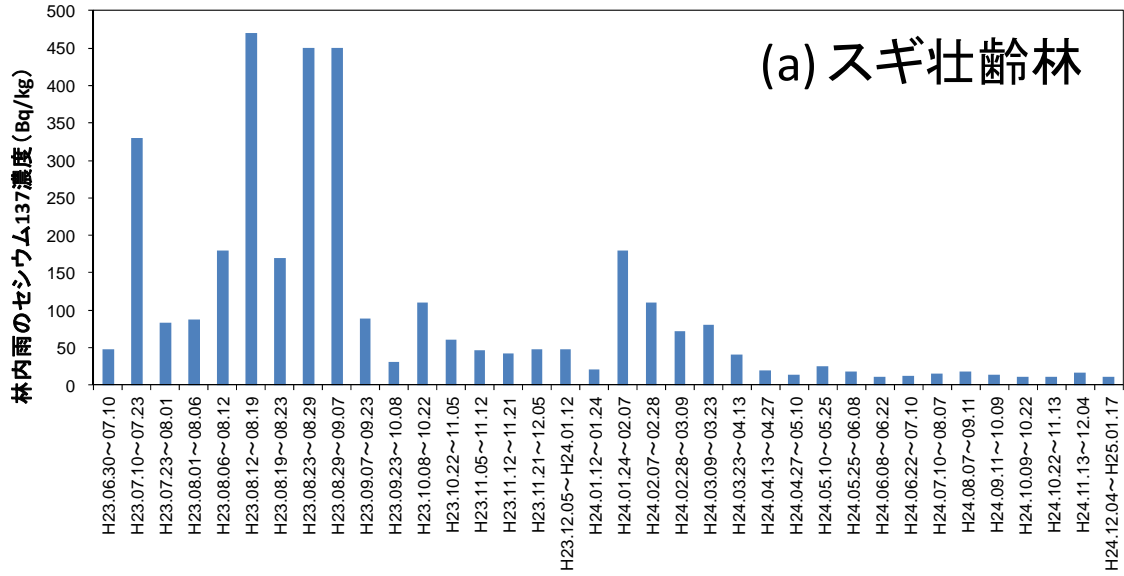


図2 林内雨に含まれるセシウム 137 濃度の時系列変化

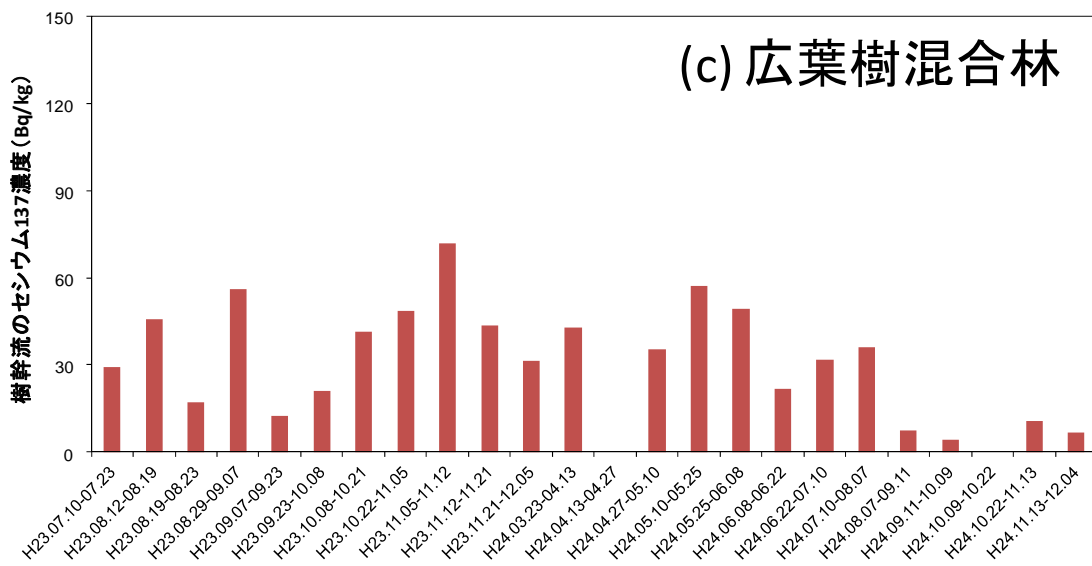
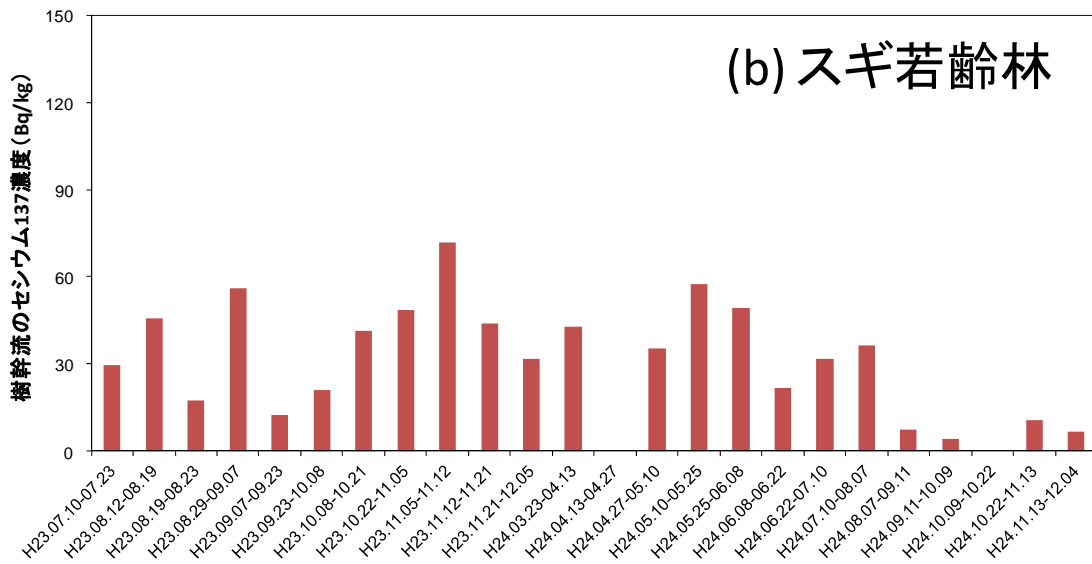
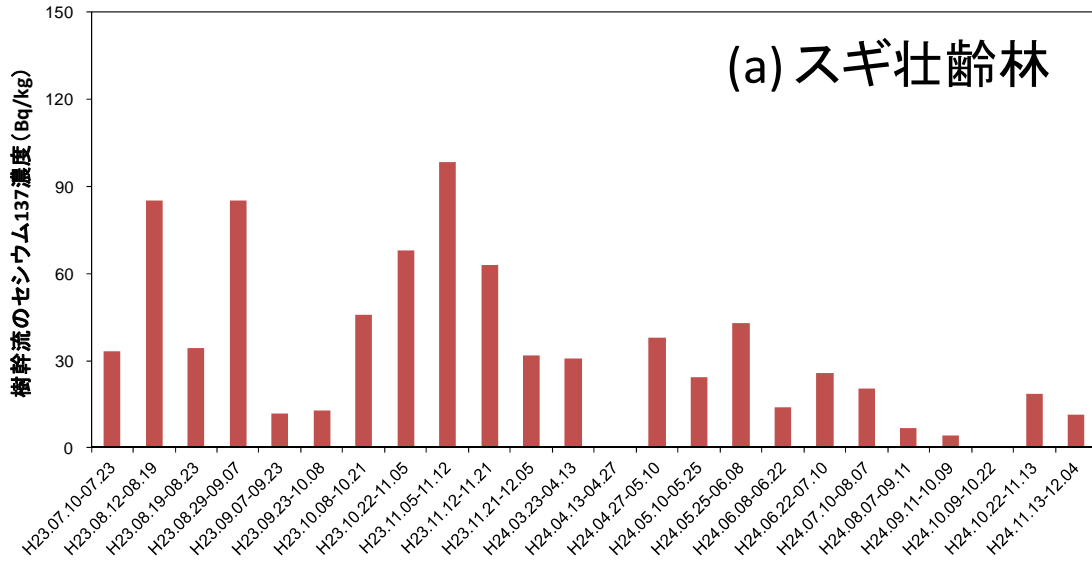


図3 樹幹流のセシウム137濃度の時系列変化

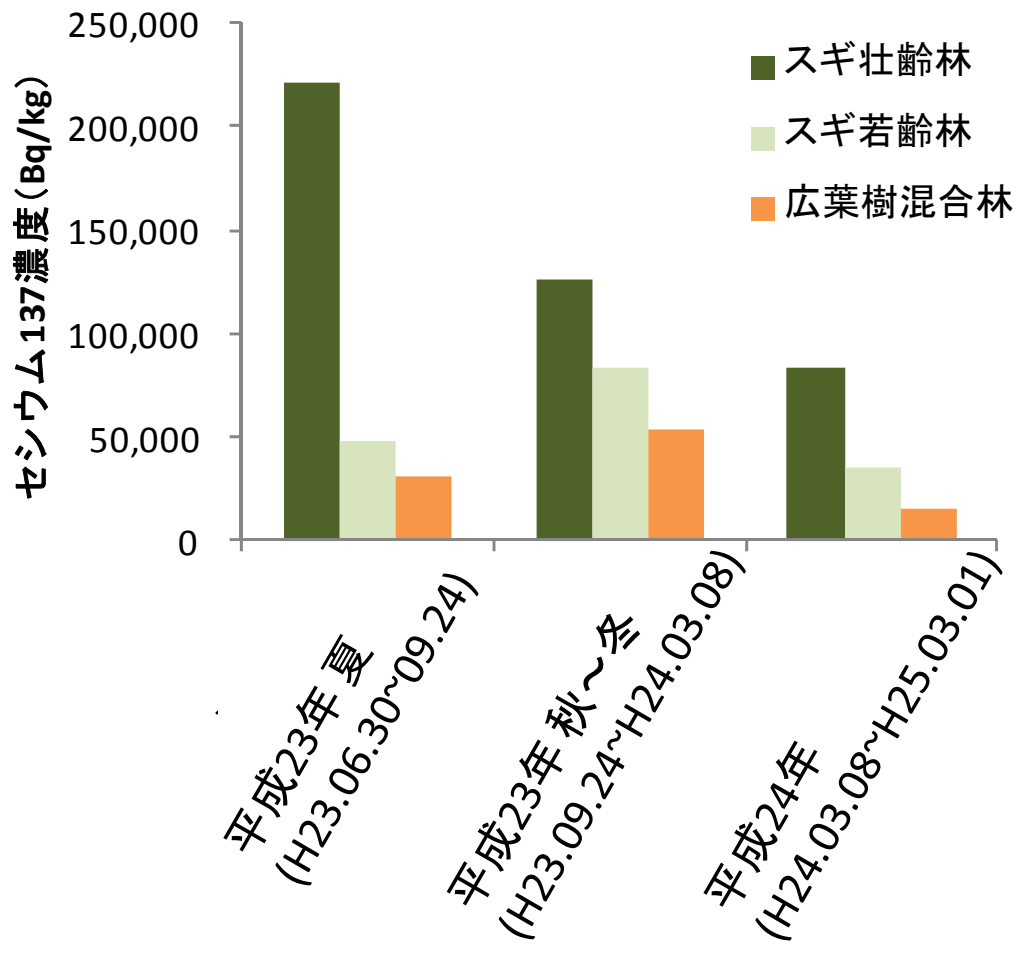


図4 リターのセシウム137濃度の時系列変化

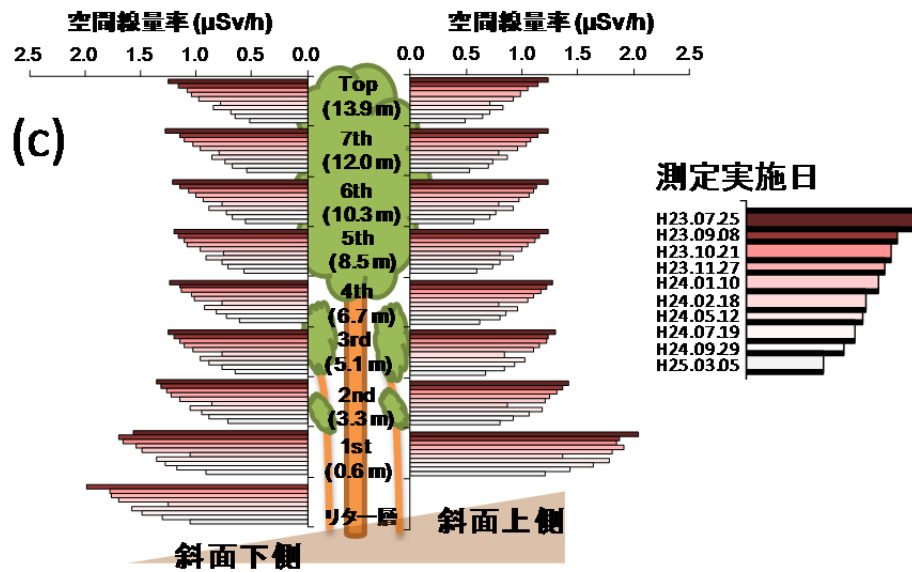
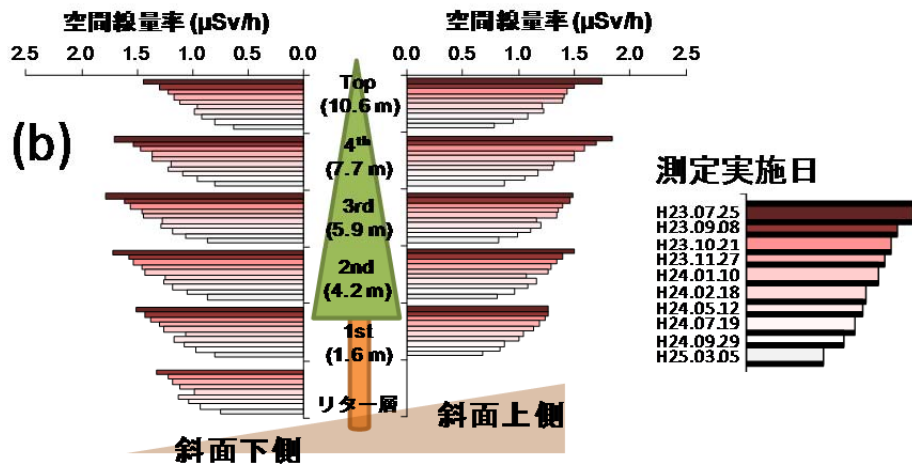
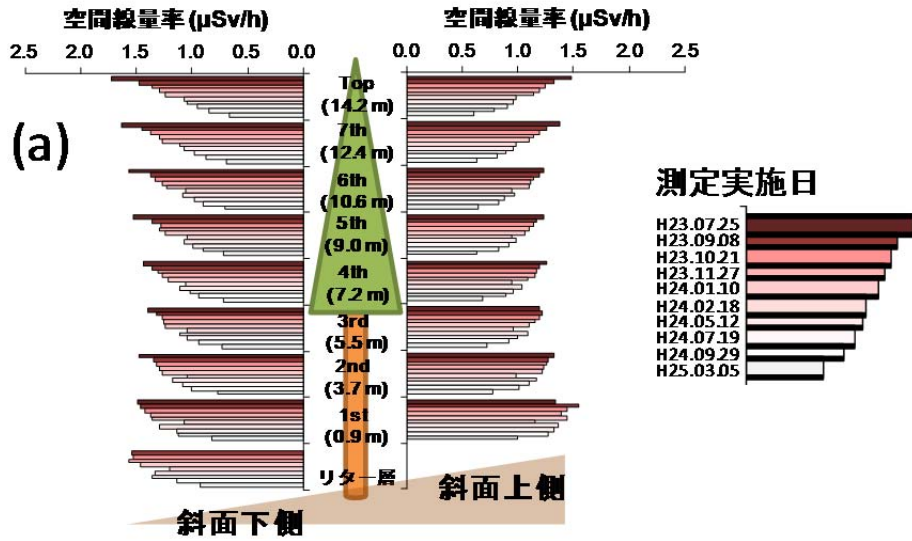


図5 森林内の空間線量率の垂直分布  
 (a)スギ壮齢林、(b)スギ若齢林、(c)広葉樹混合林

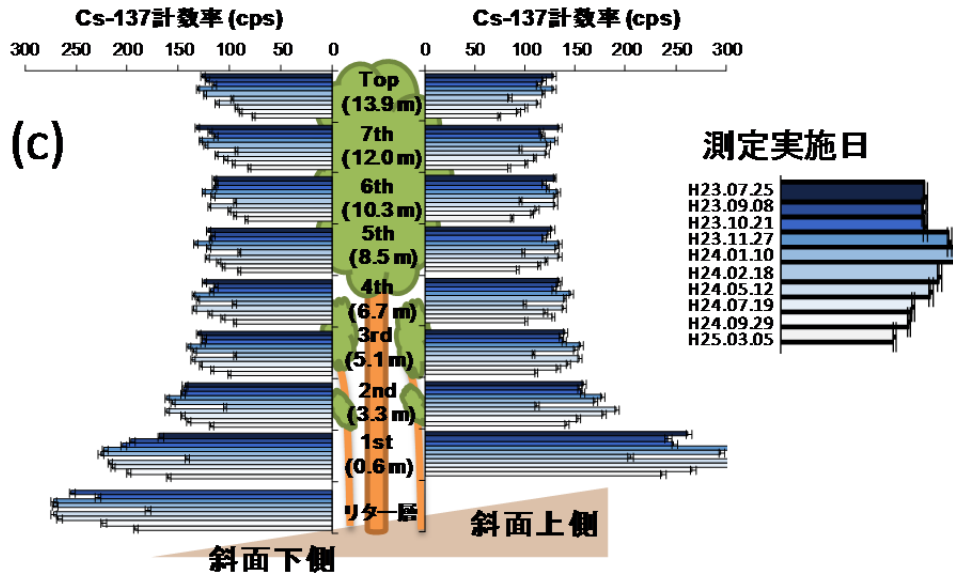
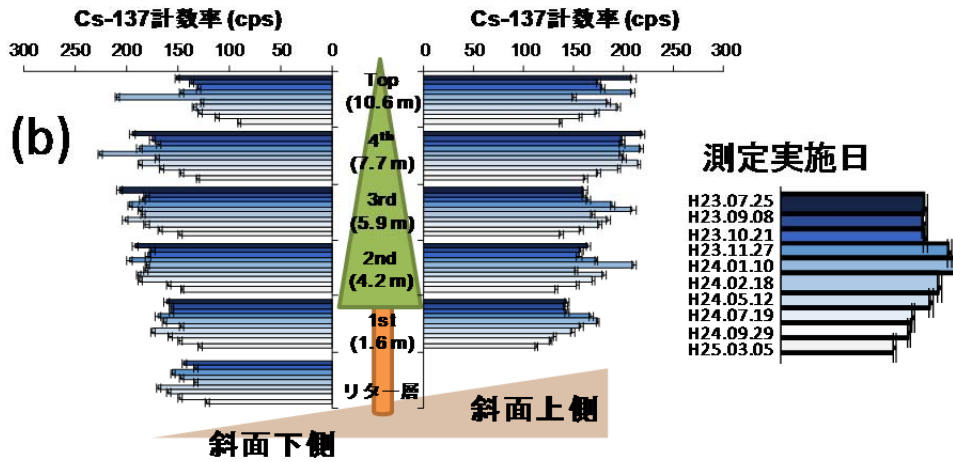
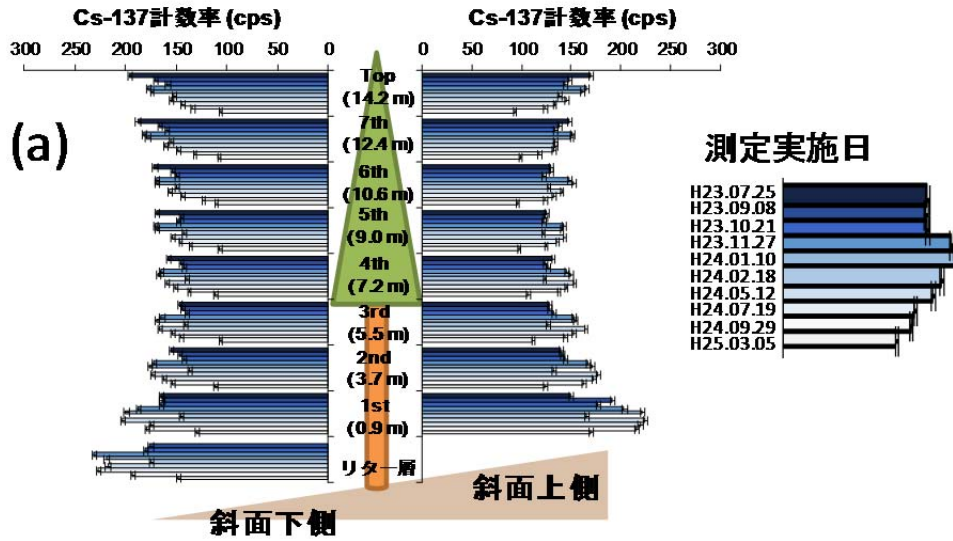


図6 森林内のセシウム137計数率の垂直分布  
(a)スギ壮齢林、(b)スギ若齢林、(c)広葉樹混合林